



Journal of the Climate Change Research

Scientific Journal of Golestan University
Vol. 6, No. 21, Spring 2025



Precipitation variability and Annual Rainfall Prediction for Central and Southeast (SE) Iran using Stochastic Time Series Modeling

Faezeh Nazeri¹, Peyman Mahmoudi^{2*}, Seyed Mahdi Amir Jahanshani³

¹ Department of Physical Geography, Faculty of Geography and Environmental Planning, University of Sistan and Baluchestan, Zahedan, Iran

² Department of Physical Geography, Faculty of Geography and Environmental Planning, University of Sistan and Baluchestan, Zahedan, Iran, Email: p_mahmoudi@gep.usb.ac.ir

³ Department of Statistics, Faculty of Mathematics, Statistics and Computer Science, University of Sistan and Baluchestan, Zahedan, Iran

Article Info

Article type:
Research Full Paper

Article history:

Received: 2024-05-21

Accepted: 2024-09-21

ABSTRACT

The present study sought to investigate precipitation variability and prediction the annual rainfall in central and southeast (SE) Iran using stochastic modeling (time series analysis). For this, the annual rainfall data gathered from 15 synoptic stations in the center and SE of Iran were obtained from Iran Meteorological Organization (IMO). Then, different autoregressive integrated moving average (ARIMA) models were used to fit the time series of annual rainfall in the studied stations. Based on the results, ARMA (2, 1) was found to be the best model fitted to the annual rainfall time series of the stations under study. Excluding the Ferdows and Iranshahr stations with an uptick in the rate of precipitation, the trend of predicted annual precipitation until 2027 was slipping for all the studied stations. The validation indices including MAD (mean absolute deviation), MSE (mean square error), RMSE (root mean square error), and MAE (mean absolute error) were employed to measure the accuracy of annual rainfall forecasts until 2027. According to these indices, the forecasts had substantial errors and were of low accuracy. Such a high rate of errors may be due to the short-term statistics obtained from synoptic stations in these regions. Hence, for modeling in central and SE Iran, future studies are recommended to use different networks of rainfall databases with long-term statistics.

Cite this article: Nazeri, F., Mahmoudi, P., Amir Jahanshani, S.M. (2024). Precipitation variability and Annual Rainfall Prediction for Central and Southeast (SE) Iran using Stochastic Time Series Modeling. Journal of the Climate Change research, 6 (21), 1-22.



©The author(s)

Publisher: Golestan University

Doi: 10.30488/CCR.2024.458098.1215



تغییرپذیری بارش و پیش‌بینی بارش‌های سالانه مرکز و جنوب ایران با استفاده از مدل سری‌های زمانی تصادفی

فائزه ناظری^۱, پیمان محمودی^{۲*}, سیدمهدي امير جهانشاهي^۳

^۱ گروه جغرافیای طبیعی، دانشکده جغرافیا و برنامه ریزی محیطی، دانشگاه سیستان و بلوچستان، زاهدان، ایران

^۲ گروه جغرافیای طبیعی، دانشکده جغرافیا و برنامه ریزی محیطی، دانشگاه سیستان و بلوچستان، زاهدان، ایران، رایانame: p_mahmoudi@gep.usb.ac.ir

^۳ گروه آمار، دانشکده ریاضی، آمار و علوم کامپیوتر، دانشگاه سیستان و بلوچستان، زاهدان، ایران

اطلاعات مقاله چکیده

هدف اصلی این پژوهش بررسی تغییرپذیری بارش و پیش‌بینی بارش‌های سالانه مرکز و جنوب شرق ایران با استفاده از مدل سری‌های زمانی تصادفی است. لذا جهت رسیدن به این هدف اصلی از داده‌های بارش سالانه ۱۵ ایستگاه همدید مرکز و جنوب شرق ایران که از سازمان هواشناسی کشور دریافت شد، استفاده گردید. سپس مدل‌های مختلفی از خانواده میانگین متحرک خودهمبسته یکپارچه (ARIMA) بر سری‌های زمانی بارش ایستگاه‌های موردنظر مطالعه برازش داده شدند. نتایج نشان دادند که بهترین مدل برازش داده شده بر سری‌های زمانی بارش سالانه ایستگاه‌های موردنظر مطالعه (1, 2, ARMA(1, 2)) می‌باشد. بر اساس این مدل مشاهده شد که روند مقادیر پیش‌بینی شده بارش‌های سالانه تا افق ۲۰۲۷ میلیار به استثنای دو ایستگاه فردوس و ایرانشهر که روند بارشی آنها افزایشی بوده است، بقیه ایستگاه دارای روند کاهشی بوده اند. برای اندازه‌گیری دقت پیش‌بینی بارش‌های سالانه تا افق ۲۰۲۷ نیز از چهار معیار اعتبارسنجی MAE, RMSE, MSE و MAD استفاده شد. نتایج این چهار معیار نشان دادند که پیش‌بینی‌های انجام شده دارای خطاهای بسیار زیاد و در نتیجه از دقت پیش‌بینی برخوردار هستند. مهمترین دلیلی که در ایجاد خطاهای بسیار زیاد در پیش‌بینی بارش‌های سالانه مرکز و جنوب شرق ایران می‌توان مطرح نمود دوره آماری کوتاه بسیاری از ایستگاه‌های مرکز و جنوب شرق ایران است. لذا برای این نوع از مدل‌سازی‌ها در مرکز و جنوب شرق ایران پیشنهاد می‌گردد از پایگاه داده‌های مختلف بارشی شبکه بنده شده که دارای طول دوره‌های آماری طولانی تری دارند استفاده شود.

تاریخ دریافت: ۱۴۰۳/۰۳/۰۱
تاریخ پذیرش: ۱۴۰۳/۰۶/۳۱

واژه‌های کلیدی:
ضریب تغییرات
ضریب چولگی
ایستگاه واریانس
ایستگاه میانگین
تابع خودهمبستگی
تابع خودهمبستگی جزئی

استناد: ناظری، فائزه؛ محمودی، پیمان؛ امیر جهانشاهی، سیدمهدي. (۱۴۰۴). تغییرپذیری بارش و پیش‌بینی بارش‌های سالانه مرکز و جنوب شرق ایران با استفاده از مدل سری‌های زمانی تصادفی. نشریه پژوهش‌های تغییرات آب و هوایی، ۶(۲۱)، ۱-۲۲.

۲۰۱۹؛ اینفانتی و کیرتمن^{۲۰}، ۲۰۱۶) نیز مورد توجه بوده است.

تحلیل سری‌های زمانی نیز در دهه‌های اخیر توجه بسیاری از محققین را به سوی خود جذب کرده است. هدف اصلی در تحلیل سری زمانی در مورد یک پدیده، ایجاد یک مدل آماری برای داده‌های وابسته به زمان براساس اطلاعات گذشته آن پدیده است. با این کار امکان پیش‌بینی در مورد آینده پدیده مورد بحث میسر می‌شود. به بیان دیگر تحلیل سری زمانی، ایجاد مدلی گذشته‌نگر است تا امکان تصمیمات آینده‌نگر را فراهم سازد. بنابراین، بررسی و پیش‌بینی نزولات جوی در ابعاد زمانی متفاوت (روزانه، ماهانه، فصلی و سالانه) برای هر منطقه و حوضه آبخیز یکی از مهمترین پارامترهای اقلیمی در استفاده بهینه از منابع آبی به شمار می‌رود. مدل‌های خطی حالت خاصی از مدل‌های غیر خطی هستند که برای اولین بار توسط توomas و Fiering^{۲۱} (۱۹۶۲) در مطالعات هیدرولوژی مورد استفاده قرار گرفتند (طاهری تیزرو^{۲۲} و همکاران، ۲۰۱۴). آنها از مدل خود همبسته (AR)، با تاخیر یک، جهت مدلسازی سری‌های زمانی جریان رودخانه استفاده کردند. با انتشار کتاب تحلیل سری‌های زمانی (پیش‌بینی و کنترل) توسط باکس و جنکینز^{۲۳} (۱۹۷۶) مدل‌های مختلف سری‌های زمانی جهت مدلسازی و پیش‌بینی معرفی گردیدند. این مدل‌ها شامل مدل‌های میانگین متحرک خود همبسته^{۲۵} (ARMA) و میانگین متحرک خود همبسته تجمعی^{۲۶} (ARIMA) بودند. سالas^{۲۷} و همکاران (۱۹۸۰) مدل‌های خود همبسته (AR)، میانگین متحرک^{۲۸} (MA)، میانگین متحرک خود همبسته (ARMA) و میانگین متحرک خود همبسته تجمعی (ARIMA) را شرح و نحوه استفاده از آنها را در علم هیدرولوژی با

- 20. Ifanti and Kirtman
- 21. Thomas and Fiering
- 22. Taheri Tizro
- 23. Autoregressive (AR)
- 24. Box and Jenkins
- 25. Autoregressive Moving-Average (ARMA)
- 26. Autoregressive Integrated Moving Average (ARIMA)
- 27. Salas
- 28. Moving Average (MA)

مقدمه

پیش‌بینی بارش و تعیین ویژگی‌های آن در مناطق خشک و نیمه خشک همواره یکی از دغدغه‌های بزرگ هواشناسان و اقلیم‌شناسان بوده است، زیرا در بسیاری از برنامه‌ریزی‌های مرتبط با منابع آب لازم است که چشم‌اندازی از وضعیت آینده بارش ترسیم گردد تا بتوان بر اساس آن برنامه‌ریزی‌های اجتماعی، اقتصادی و کشاورزی را به درستی طراحی نمود. در چند دهه اخیر برای پیش‌بینی بارش‌ها از روش‌های آماری و غیر آماری مختلفی استفاده شده است که می‌توان به ماشین‌های بردار پشتیبان (ین^۱ و همکاران، ۲۰۲۲؛ حسین^۲ و همکاران، ۲۰۲۰؛ مهر^۳ و همکاران، ۲۰۱۹؛ بنادکوکی^۴ و همکاران، ۲۰۱۹؛ دو^۵ و همکاران، ۲۰۱۷؛ کیسی و سیمن^۶، ۲۰۱۲)، شبکه‌های عصبی مصنوعی (آگواسکا-کولومو^۷ و همکاران، ۲۰۱۹؛ پان^۸ و همکاران، ۲۰۱۹؛ سورانی^۹، ۲۰۱۹؛ ویساکول^{۱۰} و همکاران، ۲۰۱۸؛ ژانگ^{۱۱} و همکاران، ۲۰۱۸؛ آبوت و ماروشاسی^{۱۲}، ۲۰۱۷؛ ناصری^{۱۳} و همکاران، ۲۰۰۸) و مدلسازی‌های تصادفی سری‌های زمانی (وانگ^{۱۴} و همکاران، ۲۰۲۱؛ جاوری^{۱۵}، ۲۰۲۱؛ بوجار^{۱۶} و همکاران، ۲۰۱۸) اشاره نمود. همچنین قابلیت پیش‌بینی بارش با استفاده از الگوهای پیوند از دور (ژاو^{۱۷} و همکاران، ۲۰۲۲؛ وانگ و همکاران، ۲۰۲۰؛ غلامی رستم^{۱۸} و همکاران، ۲۰۲۰؛ تیپت^{۱۹} و همکاران،

-
- 1. Yin
 - 2. Hussein
 - 3. Mehr
 - 4. Banadkooki
 - 5. Du
 - 6. Kisi and Cimen
 - 7. Aguasca-Colomo
 - 8. Pan
 - 9. Nourani
 - 10. Weesakul
 - 11. Zhang
 - 12. Abbot and Marohasy
 - 13. Nasseri
 - 14. Wang
 - 15. Javari
 - 16. Bojar
 - 17. Zhao
 - 18. Gholami Rostam
 - 19. Tippett

با بارش مساوی یا بیشتر از ۱۰ میلی متر ۴۱ ایستگاه همدید را برای یک بازه زمانی ۳۰ ساله ۱۹۶۶ (۱۹۹۵) از سازمان هواشناسی کشور دریافت و سپس با استفاده از تحلیل خوش‌های، ایران را به ۵ ناحیه اقلیمی همگن تقسیم‌بندی نمودند. در ادامه برای هر کدام از این پنج ناحیه اقلیمی، یک ایستگاه معرف (بابلسر، قزوین، اصفهان، زابل و بندر لنگه) را انتخاب نمودند. آنها تغییرات سری‌های زمانی حداقل و حداقل دمای ماهانه و مجموع بارش ماهانه ایستگاه‌های منتخب را با استفاده از مدل‌های فصلی میانگین متحرک تجمعی ضربی^۳ (SARIMA) مدلسازی و اقدام به پیش‌بینی برای آینده نمودند. نتایج این قسمت از کار این محققین نشان داد که این مدل‌ها جهت برآورد متغیرهای مورد نظر به خوبی عمل ننموده و قابلیت برآورد مقادیر پیش از سه تا چهار سال را ندارند. علاوه بر این نتایج، آنها گزارش داده اند که میانگین ماهانه دمای‌های حداقل و حداقل ایستگاه‌های واقع در عرض‌های جغرافیایی بالاتر دارای تغییرات معنادارتر بیشتری نسبت به عرض‌های جغرافیایی پایین تر بوده اند. همچنین مجموع بارندگی ماهانه نیز به جز در مناطق حاشیه‌ای کویرهای مرکزی تغییرات معناداری در دیگر نواحی اقلیمی ایران نشان نداده اند.

سلطانی گرد فرامرزی و همکاران (۱۳۹۶) به منظور پیش‌بینی بارش‌های سالانه سه ایستگاه مهاباد، ارومیه و ماکو در استان آذربایجان غربی از مدلسازی سری‌های زمانی مربوط به خانواده میانگین متحرک خود همبسته (ARIMA) استفاده کردند. آنها برای پیش‌بینی بارش‌های سالانه این سه ایستگاه به ترتیب مدل‌های ARIMA (1, 0, 0) را برای ایستگاه ارومیه، ARIMA (0, 1, 1) را برای ایستگاه ماکو و ARIMA (0, 1, 0) را برای ایستگاه مهاباد بهتر از دیگر مدل‌ها تشخیص دادند. در نهایت بر اساس این مدل‌ها، بارش‌های سالانه ۳ سال آینده این ایستگاه‌ها را پیش‌بینی و نتیجه گرفتند که این مدل‌ها توانایی بسیار

ارائه مثال‌های کاربردی از داده‌های جریان رودخانه تشریح نمودند. بورلاند و مونتانا^۱ (۱۹۹۶) از مدل‌های میانگین متحرک خود همبسته تجمعی (ARIMA) جهت پیش‌بینی بارش‌های ساعتی استفاده و مقادیر بهدست آمده را با داده‌های بارانسنجی مقایسه کردند. آنها در این تحقیق به این نتیجه رسیدند که با افزایش مدت دوام بارش‌ها، پیش‌بینی‌ها روندهای دقیق‌تری داشته و با کوتاه‌تر شدن دوام بارش از دقت پیش‌بینی‌ها کاسته می‌شود. ویساکول و لووانیچای^۲ (۲۰۰۵) با استفاده از دو مدل میانگین متحرک خود همبسته (ARMA) و میانگین متحرک خود همبسته تجمعی (ARIMA) به پیش‌بینی بارش برای تخصیص آب به بخش کشاورزی تایلند پرداختند. آنها برای این منظور از داده‌های بارش ۳۱ ایستگاه بارانسنجی برای بازه زمانی ۱۹۵۱-۲۰۰۳ بهره برندند. نتایج آنها نشان داد که در ۲۳ ایستگاه مدل میانگین متحرک خود همبسته (ARMA) و در ۸ ایستگاه باقیمانده نیز مدل میانگین متحرک خود همبسته تجمعی (ARIMA) مناسب‌تر بوده اند.

در ایران نیز تلاش‌های فراوانی جهت پیش‌بینی بارش با استفاده از روش‌های مختلف آماری و ریاضی انجام شده است که بر اساس مقیاس زمانی می‌توان آنها را به پنج دسته پیش‌بینی‌های ساعتی (یخشکی و همکاران، ۱۳۸۷)، روزانه (رخ شاد و همکاران، ۱۳۹۳؛ رخ شاد و همکاران، ۱۳۹۵؛ امیدوار و نبوی زاده، ۱۳۹۳)، ماهانه (مدرسى، ۱۴۰۰؛ شرفی و همکاران، ۱۳۹۹)، فصلی (فلاح قاله‌ری و شاکری، ۱۳۹۴؛ فلاح قاله‌ری و همکاران، ۱۳۸۸) و سالانه (مجرد و همکاران، ۱۳۹۳) تقسیم نمود. در بسیاری از این پیش‌بینی‌های همواره مدلسازی‌های آماری نقش بر جسته ای داشته اند. جهانبخش و ترابی (۱۳۸۳) در راستای بررسی تغییرات دما و بارش در ایران، ابتدا داده‌های میانگین حداقل و حداقل دما، متوسط رطوبت در ساعت‌های ۹، ۳ و ۱۵، مجموع بارش ماهانه، بیشترین بارندگی روزانه و تعداد روزهای همراه

3. Seasonal Auto-Regressive Integrated Moving Average (SARIMA)

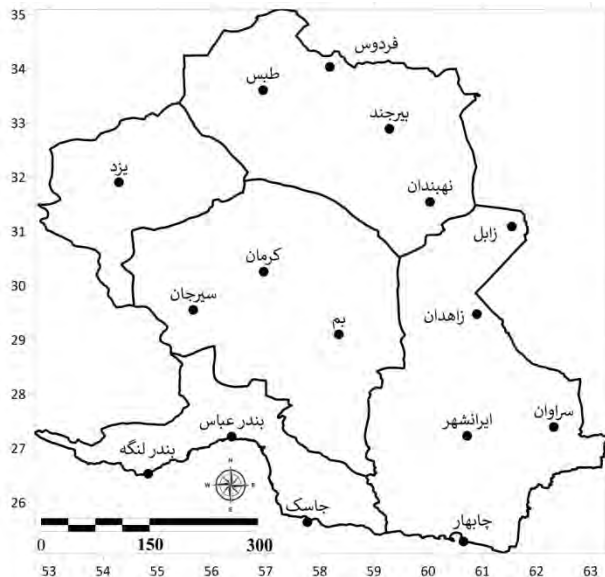
1. Borland and Montana
2. Weesakul and Lowanichchai

- با نوسانات شدید بارش از سالی به سال دیگر روبرو هستند در قالب یک مطالعه موردنی مورد بررسی قرار دهد. لذا برای رسیدن به این هدف اصلی، اهداف فرعی زیر تعریف شده‌اند:
- بررسی آماره‌های توصیفی تغییرپذیری بارش‌های سالانه ایستگاه‌های واقع در مرکز و جنوب شرق ایران
 - انتخاب بهترین مدل از خانواده سری‌های زمانی تصادفی جهت برآش بسیاری‌های زمانی بارش ایستگاه‌های واقع در مرکز و جنوب شرق ایران
 - پیش‌بینی سری‌های زمانی بارش سالانه ایستگاه‌های واقع در مرکز و جنوب شرق ایران با استفاده از مدل‌های سری‌های زمانی تصادفی

داده‌ها و روش‌ها

الف: داده‌ها: در این پژوهش جهت بررسی تغییرپذیری بارش و پیش‌بینی سالانه آن در مرکز و جنوب شرق ایران از داده‌های بارش سالانه ۱۵ ایستگاه همدید که از سازمان هواسناسی کشور دریافت شد، استفاده گردید. طول دوره آماری ایستگاه‌های مورد استفاده در این مطالعه با یکدیگر بسیار متفاوت است (جدول ۱). دلیل استفاده از طول دوره‌های آماری مختلف در این مطالعه، بهره گیری از حداکثر طول دوره آماری ایستگاه‌ها برای مدلسازی‌های آماری و استفاده از آن در پیش‌بینی‌های آینده بارش‌های سالانه مرکز و جنوب شرق ایران بوده است. طولانی‌ترین طول دوره آماری در بین ایستگاه‌های مورد مطالعه متعلق به ایستگاه زاهدان با ۷۰ سال داده (۱۹۵۱-۲۰۲۰) و کوتاه‌ترین آن نیز متعلق به ایستگاه‌های بیرجند، چابهار، فردوس، ایرانشهر، جاسک، کرمان، نهبندان، سراوان، سیرجان، طبس، یزد و زابل با ۳۵ سال داده (۱۹۸۶-۲۰۲۰) بوده است (جدول ۱). در شکل ۱ نام و موقعیت ایستگاه‌های مورد مطالعه و در جدول ۱ مشخصات جغرافیایی آنها آورده شده است.

مناسبی در پیش‌بینی بارش‌های سالانه این ایستگاه داشته‌اند. سید نژاد گل خطمی و همکاران (۱۴۰۱) با استفاده از داده‌های بارش سالانه ۱۲۵ سال ایستگاه مشهد (۱۸۹۴-۲۰۱۸) اقدام به مدلسازی رفتار سری زمانی بارش سالانه این ایستگاه نمودند. آنها با برآش چند جمله‌ای‌ها تغییرات دوره‌ای و با استفاده از دو روش ناپارامتریک من-کنداش و برآورد کننده شبیه سن وجود روند را مورد بررسی قرار دادند. در نهایت بهترین مدل از خانواده میانگین متحرک خود همبسته تجمعی (ARIMA) را انتخاب و اقدام به پیش‌بینی بارش سالانه برای این ایستگاه نمودند. نتایج به دست آمده از این مطالعه نشان از عدم وجود روند و همچنین عدم وجود تغییرات دوره‌ای در سری زمانی مورد مطالعه دارد. از بین مدل‌های مختلف خانواده میانگین متحرک خود همبسته تجمعی (ARIMA) نیز مدل (۱, ۱, ۱) بهترین عملکرد را داشته است. لذا بر اساس این مدل بهترین پیش‌بینی برای مقدار بارش سالانه ایستگاه مشهد مقدار متوسط آن است. همانگونه که پیشتر در پیشینه تحقیق نیز بدان اشاره شده است، پیش‌بینی بارش‌ها در مقیاس‌های زمانی مختلف همواره یکی از دغدغه‌های اساسی اقلیم‌شناسان و هواسناسان بوده است. در این راستا محققان اقلیم‌شناس و هواسناس از روش‌های مختلف عددی و غیر عددی برای این کار بهره جسته‌اند. یکی از این روش‌ها استفاده از مدل‌های مختلف سری‌های زمانی تصادفی در پیش‌بینی بارش‌ها در مقیاس‌های زمانی مختلف بوده است. در استفاده از این روش‌ها نیز همواره یک ایستگاه را به عنوان نمونه انتخاب و قابلیت‌سنجی مدل‌های مختلف سری‌های زمانی تصادفی را مورد کنکاش قرار می‌دادند. در این مطالعه قابلیت‌سنجی این مدل‌ها برای اولین بار (به عنوان نوآوری مقاله) در یک مقیاس منطقه‌ای و برای یک اقلیم مشخص (اقلیم خشک) مورد توجه قرار داده است. لذا به طور مشخص این مطالعه قصد دارد که کارائی مدل‌های سری‌های زمانی بارش‌های سالانه در اقلیم‌های خشک مرکز و جنوب شرق ایران که همواره



شکل ۱: نام و موقعیت جغرافیایی ایستگاه‌های مورد مطالعه در مرکز و جنوب شرق ایران

جدول ۱: ویژگی‌های جغرافیایی ایستگاه‌های مورد مطالعه در مرکز و جنوب شرق ایران

نام ایستگاه	طول جغرافیایی	عرض جغرافیایی	دوره آماری	طول دوره اماری	اقلیم
ایرانشهر	۶۰	۲۷	۱۹۸۶-۲۰۲۰	۳۵ سال	خشک
بم	۵۸	۲۹	۱۹۵۷-۲۰۲۰	۶۴ سال	خشک
بندرعباس	۵۶	۲۷	۱۹۵۷-۲۰۲۰	۶۴ سال	خشک
بندرلنگه	۵۴	۲۶	۱۹۶۶-۲۰۲۰	۵۵ سال	خشک
بیرون	۵۹	۳۲	۱۹۵۱-۲۰۲۰	۷۰ سال	خشک
زاهدان	۶۰	۲۵	۱۹۸۶-۲۰۲۰	۳۵ سال	خشک
چابهار	۶۱	۲۵	۱۹۸۶-۲۰۲۰	۳۵ سال	خشک
زابل	۶۱	۳۱	۱۹۸۶-۲۰۲۰	۳۵ سال	خشک
زاهدان	۶۰	۲۹	۱۹۵۱-۲۰۲۰	۷۰ سال	خشک
سراوان	۶۲	۲۷	۱۹۸۶-۲۰۲۰	۳۵ سال	خشک
سیستان	۵۵	۲۹	۱۹۸۶-۲۰۲۰	۳۵ سال	خشک
فردوس	۵۸	۳۴	۱۹۸۶-۲۰۲۰	۳۵ سال	خشک
طبس	۵۶	۳۳	۱۹۸۶-۲۰۲۰	۳۵ سال	خشک
کرمان	۵۷	۳۰	۱۹۸۶-۲۰۲۰	۳۵ سال	خشک
نهیندان	۶۰	۳۱	۱۹۸۶-۲۰۲۰	۳۵ سال	خشک
یزد	۵۴	۳۱	۱۹۸۶-۲۰۲۰	۳۵ سال	خشک

تقسیم‌بندی شدند. بخش اول که ۸۵ درصد داده‌ها را شامل می‌شد برای مدل‌سازی و ۱۵ درصد داده‌های باقیمانده نیز برای اعتبارسنجی و آزمون دقیقت مدل‌ها به کار گرفته شدند.
روش مدل‌سازی تصادفی سری‌های زمانی که در این مطالعه مورد استفاده قرار گرفته‌اند شامل قسمت‌های مختلفی است. قسمت اول، برخی تحلیل‌های اولیه و معیارهای انتخاب مرتبه مدل مناسب جهت

ب- روش شناسی: بعد از جمع‌آوری داده‌های بارش در یک مقیاس سالانه، در همان ابتدای کار، برخی از آماره‌های توصیفی بارش‌های سالانه ایستگاه‌های مورد مطالعه در مرکز و جنوب شرق ایران همچون میانگین، ضریب تغییرات و ضریب چولگی (علیزاده، ۱۳۹۰) آنها برآورد گردید. سپس برای مدل‌سازی تصادفی سری‌های زمانی بارش سالانه ایستگاه‌های مورد مطالعه، داده‌های بارش سالانه ایستگاه‌ها به دو بخش مختلف

خودهمبستگی مورد استفاده قرار گرفت (اندرسون^۳، ۱۹۴۲).

تابع خودهمبستگی جزئی: خود همبستگی جزئی با تعیین هم نوع و هم مرتبه مدل محاسبه می‌شود (دوربین^۴، ۱۹۶۰).

$$PC_{k,k} = \frac{r_k - \sum_{j=1}^{k-1} PC_{k-1,j} r_{k-j}}{1 - \sum_{j=1}^{k-1} PC_{k-1,j} r_{k-j}} \quad (2)$$

که $PC_{k,k}$ تابع خودهمبستگی جزئی در تاخیر زمانی k و r_k تابع خودهمبستگی در تاخیر زمانی k است. حدود احتمالاتی ۹۵٪ نیز برای تابع خودهمبستگی جزئی نیز برآورده شد (اندرسون، ۱۹۴۲).

برآورده پارامتر مدل انتخاب شده: برای برآورده پارامترهای مدل از روش حداکثر درست نمایی استفاده شد (باکس و جنکینز، ۱۹۷۰). مجموع ضرب برداری را در نظر بگیرید:

$$Z_i Z_j + Z_{i+1} + Z_{j+1} + \dots + Z_{N+1+j} Z_{N+1-i} \quad (3)$$

و تعریف کنید.

$$D_{i,j} = \frac{N}{N+2-i-j} \sum_{L=0}^{N+i-(i+j)} Z_{i+L} + Z_{j+L} \quad (4)$$

که D، عامل تفاضل، N، اندازه نمونه، j، i، حداکثر مرتبه ممکن و L، تابع خودهمبستگی است. برآورده پارامترهای اوتورگرسیو (Ø) برای AR(1)

$$\phi_1 = \frac{D_{1,2}}{D_{2,2}} \quad (5)$$

$$\phi_1 = \frac{D_{1,2} D_{3,3} - D_{1,3} D_{2,3}}{D_{2,2} D_{3,3} - D_{2,3}^2} \quad (6)$$

$$\phi_2 = \frac{D_{1,3} D_{2,2} - D_{1,2} D_{2,3}}{D_{2,2} D_{3,3} - D_{2,3}^2} \quad (7)$$

واریانس نویز سفید "σ²_ε" برآورده شود با

$$\hat{\sigma}_\varepsilon^2 = \frac{1}{(N-P)} \left(D_{11} - \sum_{j=1}^p \phi_j D_{1,j+1} \right) \quad (8)$$

برای AR(0)

$$\hat{\sigma}_\varepsilon^2 = \frac{1}{N} (D_{11}) \quad (9)$$

برای AR(1)

$$\hat{\sigma}_\varepsilon^2 = \frac{1}{(N-1)} (D_{11} - \phi_1 D_{12}) \quad (10)$$

برازش بر سری‌های زمانی تاریخی را توضیح می‌دهد. قسمت دوم، پارامترهای مدل انتخاب شده را برآورده می‌کند. قسمت سوم، برخی آزمون‌های نکوئی برازش را که اساساً مبنی بر آزمون استقلال و نرمال بودن باقیمانده‌ها، مقایسه گرافیکی همبستگی نگارهای بین داده‌های مدل و داده‌های تاریخی و آزمون امساك مدل هستند را تشریح می‌کند. بخش چهارم آزمون‌های انتخاب مدل "را که از طریق مقایسه ویژگی‌های آماری سری‌های زمانی تاریخی با ویژگی متناظر سری‌های زمانی مصنوعی تولید شده با مدل می‌پردازد، اختصاص می‌یابد. آخرین بخش، "قابلیت اطمینان پارامترهای برآورده شده" می‌باشد که مربوط به تعیین حدود اطمینان پارامترهای برآورده شده مدل می‌باشد.

تحلیل‌های اولیه و مرتبه مدل: هدف اصلی این بخش بررسی نرمال بودن سری‌های اصلی با استفاده از آزمون نکوئی برازش خی دو و یا آزمون ضریب چولگی است که توسط کوکران و کاکس^۱ (۱۹۵۷) توضیح داده شده‌اند. اگر داده‌ها نرمال نباشند، آنگاه سری‌های زمانی غیر نرمال به نرمال تبدیل می‌شوند. بعد از فرض نرمال بودن داده‌ها، توابع جزئی و خودهمبستگی که در زیر توضیح داده شده‌اند تعیین و مرتبه مناسب مدل به دست می‌آید.

تابع خودهمبستگی: تابع خودهمبستگی (r_k) با تاخیر زمانی k همانگونه که کوتکودا و هوردر^۲ (۱۹۸۰) پیشنهاد داده اند به صورت زیر برآورده می‌شود:

$$r_k = \frac{\sum_{t=1}^{N-K} (Y_t - \bar{Y})(Y_{t+K} - \bar{Y})}{\sum_{t=1}^{\infty} (Y_t - \bar{Y})^2} \quad (1)$$

که به ترتیب r_k تابع خودهمبستگی سری‌های زمانی Y_t در تاخیر زمانی k، Y_t سری‌های زمانی داده‌های مشاهداتی، \bar{Y} میانگین سری‌های زمانی Y_t و N مجموع تعداد مقادیر گسسته سری‌های زمانی Y_t است. برای تعیین مرتبه مدل برای سری‌های زمانی مورد نظر و همچنین برای مقایسه همبستگی نگار نمونه با همبستگی نگار مدل از نمودار خودهمبستگی استفاده شد. سطح احتمالاتی ۹۵٪ درصد برای برآورده تابع

3. Anderson

4. Durbin

1. Cochran and Cox

2. Kotegoda and Horder

مدل جدید منتخب خواهد بود. به عبارت دیگر، AIC معیاری برای انتخاب مرتبه مدل است، بنابراین نمودار AIC(p) در برابر p و همچنین نمودار همبستگی نگار جزئی نمونه و جمعیت می‌توانند برای انتخاب مدلنهایی استفاده شوند.

آزمون انتخابی مدل: مدلساز معمولاً علاقه‌مند به یافتن مدلی است که بتواند جایگزین ویژگی‌های آماری تاریخی شود که می‌توانند میانگین تاریخی، انحراف از معیار، ضریب چولگی، همبستگی نگار و دامنه تغییرات میانگین باشد. بنابراین هدف اصلی این بخش مقایسه ویژگی‌های آماری داده‌های تولید شده با داده‌های تاریخی می‌باشد. برخی از آماره‌ها همچون میانگین خطای پیش‌بینی (MFE)، میانگین مطلق خطای (MAE) و میانگین محدود مربعات خطای (RMSE) ارائه شده در زیر جهت آزمون شایستگی مدل محاسبه شدند:

$$MAD = \frac{\sum_{t=1}^n |X_c(t) - X_o(t)|}{\eta} \quad (20)$$

که $X_c(t)$ بارش پیش‌بینی شده، $X_o(t)$ بارش مشاهده شده و η تعداد مشاهدات است.

$$MMAE = \frac{\sum_{t=1}^n |X_c(t) - X_o(t)|}{\eta} \quad (21)$$

$$MSE = \sqrt{\frac{\sum_{t=1}^n [X_c(t) - X_o(t)]^2}{\eta}} \quad (22)$$

$$RMSE = \sqrt{\frac{1}{n} \sum_{t=1}^n (X_c(t) - X_o(t))^2} \quad (23)$$

در نهایت پرای درون یا بیان نقشه‌های توزیع فضایی ویژگی‌های مختلف بارش‌های سالانه جنوب شرق ایران از روش درون یا بیان کریجینگ استفاده شد.

نتایج و بحث

الف: آمار توصیفی بارش‌های سالانه ایستگاه‌های مورد مطالعه در مرکز و جنوب شرق ایران: در ابتدا برای داشتن یک نمای کلی از ویژگی‌های آماری بارش‌های مرکز و جنوب شرق ایران در یک مقیاس سالانه، آماره‌های توصیفی مربوط به بارش تمامی ایستگاه‌های مورد مطالعه شامل میانگین، ضریب تغییرات و ضریب چولگی محاسبه و در شکل ۲ آورده

برای AR(2)

$$\hat{\sigma}_\varepsilon^2 = \frac{1}{(N-2)} (D_{11} - \phi_1 D_{12} - \phi_2 D_{13}) \quad (11)$$

شرطی ایستایی پارامترهای برآورده شده: شرایط ایستایی پارامترهای اتورگرسیو برآورده شده، $\phi_p, \phi_1, \dots, \phi_3$ ، با به دست آوردن ریشه‌های p معادلات (۱۲) تا (۱۵) آزمون و قرار گیری آنها در دایره واحد نیز مورد توجه قرار گرفت. به طور خاص، برای عبارت $p = 1$ و برای عبارات (۱۳) و (۱۴)، $p = 2$ باستی برقرار باشد.

$$-1 < \phi_1 < 1 \quad (12)$$

$$\phi_1 + \phi_2 < 1 \quad (13)$$

$$\phi_1 - \phi_2 < 1 \quad (14)$$

$$-1 < \phi_2 < 1 \quad (15)$$

آزمون‌های نکویی برآراش مدل انتخاب شده: آزمون عدم برآراش کلی نگر که در آن خودهمبستگی‌های ϵ_t به طور کلی در نظر گرفته می‌شوند. در این مورد از معادله (۱۶) جهت مجامسه آماره Q استفاده گردید:

$$Q = N \sum_{k=1}^L r_k^2(\hat{\epsilon}) \quad (16)$$

L ممکن است مرتبه ۳۰٪ از حجم نمونه N باشد. آماره Q تقریباً $X^2(L-p)$ است. اگر $Q < X^2(L-p)$ آنگاه عبارت (۱۲) مستقل است که به نوبه خود نشان می‌دهد که مدل انتخاب شده مناسب برای تحلیل است و باستی مورد استفاده قرار گیرد.

آزمون امساك پارامترها: معیار اطلاعات آکائیکه (AIC) برای بررسی اینکه آیا مرتبه مدل برآراش داده شده در مقایسه با دیگر مرتبه‌های مدل مربوطه مناسب است یا خیر استفاده می‌شود. معادله AIC برای یک مدل AR(P) :

$$AIC(p) = N - 2n(\hat{\sigma}_\varepsilon^2) + 2p \quad (17)$$

که $\hat{\sigma}_\varepsilon^2$ ، حداکثر درست نمایی از واریانس را برآورده می‌کند. بنابراین می‌توان مقایسه ای بین $AIC(p)$ و $AIC(p+1)$ انجام داد. اگر مقدار $AIC(p)$ از مقدار $AIC(p+1)$ کمتر باشد آنگاه مدل AR(P) بهترین مدل خواهد بود. در غیر اینصورت مدلی با AIC کمتر

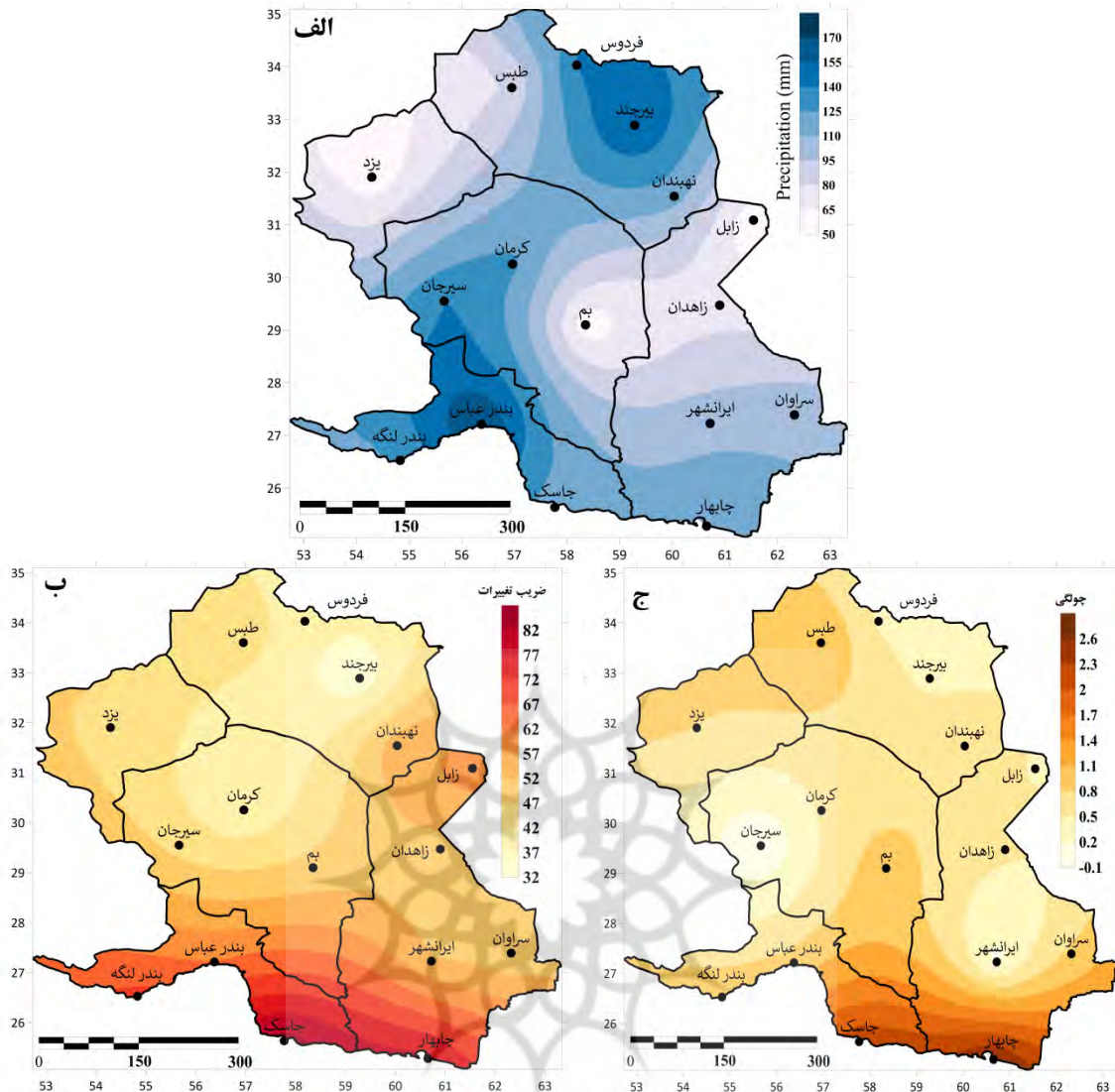
متقارن نشان می‌دهد. همانگونه که پیشتر بدان اشاره شده است ایستگاه سیرجان (۷۰/۰) تنها ایستگاهی بود که منحنی داده‌های بارش سالانه آن متقارن بودند. هر زمان ضریب چولگی یک ایستگاه بین دو مقدار ۰/۱ و ۰/۰ باشد نشان از تقارن منحنی داده‌های آن ایستگاه دارد. اما زمانی که ضریب چولگی برای میانگین بارش‌های سالانه یک ایستگاه بیشتر از ۰/۵ و یا کمتر از ۰/۵ باشند منحنی داده‌های آنها دارای چولگی زیادی خواهد بود. در بین ایستگاه‌های مورد مطالعه مشاهده شد که تمامی آنها دارای چولگی زیاد مثبت بوده اند. در کل می‌توان نتیجه گرفت که ضریب چولگی مقادیر میانگین بارش‌های سالانه ایران در مرکز و جنوب شرق ایران دارای یک چولگی مثبت هستند که این نشان از پتانسیل بالای ایستگاه‌های مورد مطالعه برای وقوع خشکسالی دارند. توزیع زمانی و مکانی به شدت نامنظم بارش در سال‌های مختلف، دور بودن از منابع رطوبتی، استقرار پرشمار جنب حاره بر جو ایران در نیمه گرم سال، رژیم بارشی به شدت فصلی آن می‌تواند مهمترین دلایل این چولگی در مرکز و جنوب شرق ایران باشد. توزیع فضایی مقادیر چولگی در شکل ۲ (ج) در قالب یک نقشه با استفاده از روش درون یابی کریجینگ تهیه شده است.

ب- مدلسازی تصادفی سری‌های زمانی بارش سالانه ایستگاه‌های مرکز و جنوب شرق ایران: با توجه به آنکه، مدل‌های احتمال سری‌های زمانی، برای سری‌های ایستا در میانگین و واریانس تعریف شده‌اند، پس لازم است که ابتدا ایستایی سری‌های زمانی مورد بررسی قرار گیرند و در صورت نایستا بودن آنها، با انجام تبدیلات لازم آن را به یک سری زمانی ایستا تبدیل نمود. لازم به اشاره است یک سری زمانی هنگامی ایستا نامیده می‌شود که مشخصه‌های آماری آنها مانند میانگین و واریانس‌شان در طول زمان ثابت بماند. در ادامه نتایج آزمون ایستایی در واریانس و میانگین سری‌های زمانی بارش سالانه ایستگاه‌های مورد مطالعه آورده می‌شود.

شده‌اند. همانگونه که در شکل ۲ قابل مشاهده است بالاترین میانگین بارش سالانه متعلق به ایستگاه بندرعباس با $\frac{177}{3}$ میلی متر و پایین ترین آن متعلق به ایستگاه زابل با $\frac{52}{6}$ میلی متر بوده است. توزیع فضایی میانگین بارش‌های سالانه نیز نشان می‌دهد که مرکز و غرب استان هرمزگان و شمال خراسان جنوبی بیشترین و استان یزد، غرب استان خراسان جنوبی و مرکز استان سیستان و بلوچستان کمترین میزان بارش را دریافت می‌کنند (شکل ۲ الف).

ضریب تغییرپذیری بارش‌های سالانه ایستگاه‌های مورد مطالعه نیز دامنه تغییرات بسیار گسترده‌ای را از خود نشان می‌دهند. به طوریکه ایستگاه‌های واقع در نوار ساحلی دریای عمان و خلیج فارس همچون ایستگاه‌های جاسک (۸۴/۲)، چابهار (۷۸/۶)، بندرنگه (۶۸/۵) و بندرعباس (۶۱/۹) به ترتیب بالاترین ضرایب تغییرپذیری و ایستگاه‌های بیرون (۳۳/۲)، کرمان (۳۷/۵) و فردوس (۴۰/۱) نیز پایین‌ترین مقادیر ضریب تغییرپذیری را به خود اختصاص داده‌اند (شکل ۲ ب). ضریب تغییرپذیری در واقع نمایه‌ای است که تغییرات متغیر مورد مطالعه را که در اینجا مقادیر بارش سالانه ایستگاه‌ها می‌باشند نسبت به میانگین بلندمدت آنها بر حسب درصد مورد توجه قرار می‌دهد. در شکل ۲ (ب) توزیع فضایی مقادیر ضریب تغییرات برای مرکز و جنوب شرق ایران با استفاده از روش درون یابی کریجینگ ترسیم شده است.

مقادیر ضریب چولگی به دست آمده برای ایستگاه‌های مورد مطالعه نیز نشان می‌دهند که به استثنای ایستگاه سیرجان که چولگی آن منفی (۰/۰-۷) بوده است، بقیه ایستگاه‌ها دارای چولگی مثبت بوده اند (شکل ۲ ج). هرگاه تعداد داده‌های بالاتر از میانگین بیشتر از تعداد داده‌های پایین‌تر از میانگین باشند و یا بر عکس تعداد داده‌های پایین‌تر از میانگین بیشتر از تعداد داده‌های بالاتر از میانگین باشند داده‌ها را چوله و اگر برابر باشند داده‌ها را متقارن می‌گویند (بلوچی، ۱۴۰۰). در واقع چولگی، میزان انحراف داده‌ها را به یکی از حاشیه‌های توزیع



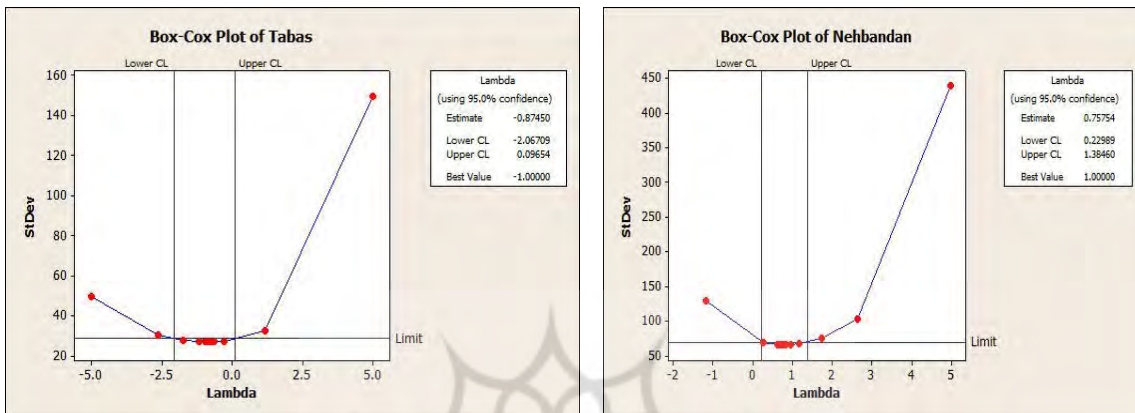
شکل ۲- نقشه‌های توزیع فضایی (الف) میانگین بارش سالانه، (ب) ضریب تغییرات بارش سالانه و (ج) ضریب چولگی بارش سالانه مرکز و جنوب شرق ایران

نمودارهای رسم شده، برآورده λ و حدود اطمینان ۹۵٪ و بهترین مقدار پیشنهادی برای λ آورده شده است. بهترین مقدار پیشنهادی برای λ همواره عدد یک می باشد که حاکی از ایستاد بودن واریانس سری زمانی مورد مطالعه در طول زمان است. از بین ایستگاه‌های مورد مطالعه تنها دو ایستگاه نهبندان در خراسان جنوی و سیرجان در استان کرمان مقدار عددی λ آنها یک بوده است. ایستگاه‌های بیرون، فردوس، ایرانشهر، کرمان، سراوان، یزد و زابل نیز با توجه به اینکه عدد یک در داخل حدود اطمینان ۹۵٪ آنها قرار داشته است می‌توان مقدار پیشنهادی برای λ

بررسی ایستایی واریانس سری‌های بارش سالانه ایستگاه‌های مرکز و جنوب شرق ایران: اگر تغییرپذیری یک سری زمانی در طول زمان افزایش یابد بدان معنا است که سری زمانی مذبور نسبت به واریانس نایاب است. برای آزمون ایستایی و نایستایی واریانس یک سری زمانی از نمودار باکس-کاکس استفاده می شود. لذا برای تمامی ایستگاه‌های مورد مطالعه نمودار باکس-کاکس رسم شدند. در شکل ۳ برای نمونه نمودارهای باکس-کاکس دو ایستگاه طبس و نهبندان آورده شده است. همانگونه که شکل ۳ مشاهده می شود در کادر سمت راست

ایستگاه طبس ۱- بوده است که حاکی از عدم ایستایی واریانس سری‌های زمانی بارش این ایستگاهها بوده است. لذا برای این ایستگاهها که مقادیر پیشنهادی λ برای آنها $0, 0/5$ ، صفر و -1 - بوده است به ترتیب از تبدیلات توانی باکس-کاکس- $\sqrt{x_t}$ ، $\ln(x_t)$ و $1/x_t$ استفاده شده است و واریانس آنها ایستا گردیدند.

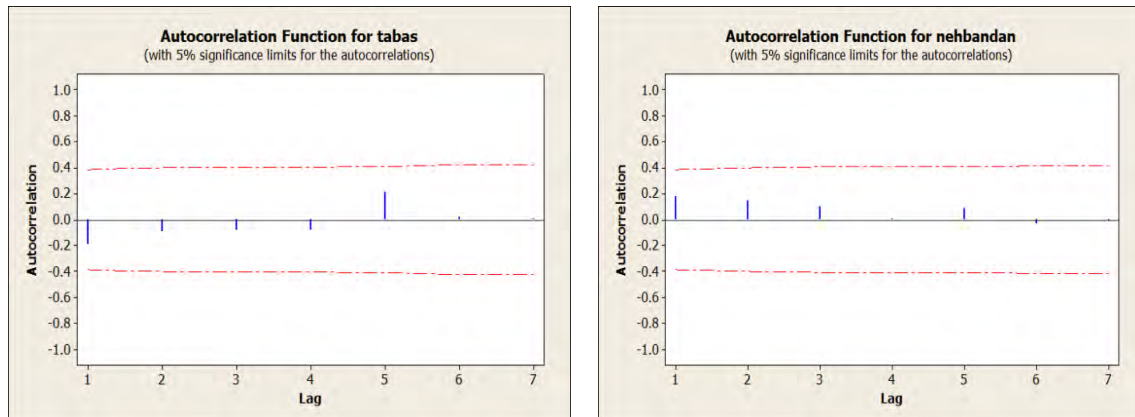
آنها را به عنوان یک مقدار قابل قبول پذیرفت. بنابراین می‌توان از تبدیل داده‌های این ایستگاهها نیز صرف نظر نمود. لازم به اشاره است که عدد یک برای پارامتر تبدیل λ به معنی عدم نیاز به تبدیل داده‌ها است. مقدار پیشنهادی λ برای دیگر ایستگاهها همچون بندر لنگه، بندر عباس، زاهدان و چابهار عدد $0, 0/5$ برای ایستگاه‌های بم و جاسک عدد صفر و برای



شکل ۳: نمودار باکس-کاکس سری‌های زمانی بارش سالانه دو ایستگاه طبس و نهبندان در مرکز و جنوب شرق ایران

داخل محدوده معناداری ۵ درصد (در نمودارها به رنگ قرمز منقطع نشان داده شده‌اند) تنزل پیدا کند دلیلی بر ایستایی سری زمانی مورد مطالعه خواهد بود (شکل ۴). لذا با توجه به توضیحات ارائه شده و با دقت در نمودارهای خودهمبستگی (acf) رسم شده برای ایستگاه‌های مورد مطالعه به روشنی مشاهده می‌شود که مقادیر تابع خودهمبستگی (acf) برای تمامی ایستگاه مورد مطالعه در محدوده معناداری ۵ درصد قرار دارند و به صورت نمایی نیز تنزل پیدا کرده اند که این حاکی از ایستایی میانگین و واریانس سری‌های زمانی این ایستگاهها می‌باشد (شکل ۴).

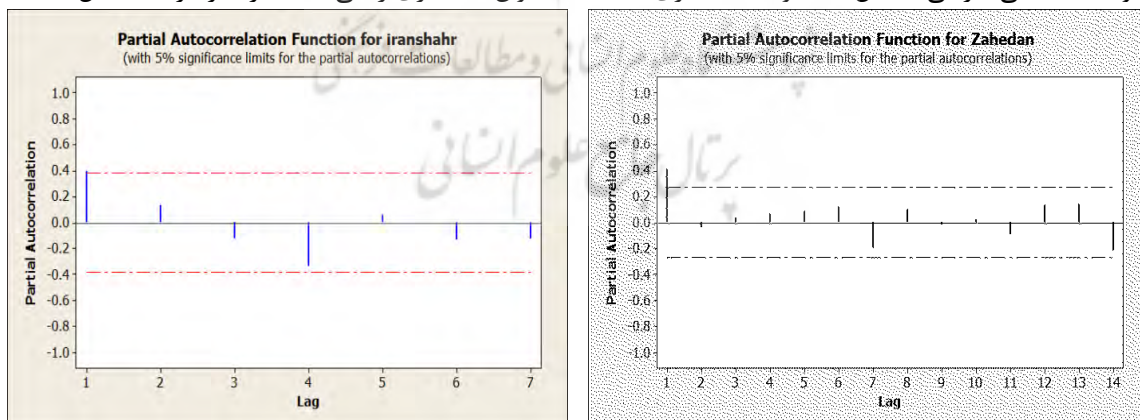
بررسی ایستایی میانگین سری‌های زمانی بارش سالانه ایستگاه‌های مرکز و جنوب شرق ایران: برای بررسی ایستایی میانگین یک سری زمانی از دوتابع خودهمبستگی (acf) و خودهمبستگی جزئی (pacf) استفاده می‌شود. لذا برای تمامی ۱۶ ایستگاه مورد مطالعه در مرکز و جنوب شرق ایران نمودارهای خودهمبستگی (acf) و خودهمبستگی جزئی (pacf) رسم شدند. در شکل ۴ و ۵ برای نمونه تابع خودهمبستگی (acf) و خودهمبستگی جزئی (pacf) دو ایستگاه طبس و نهبندان آورده شده اند. بر اساس نمودارهای خودهمبستگی (acf)، هر زمان تابع خودهمبستگی (acf) به صورت نمایی و به سرعت



شکل ۴: نمودارهای مربوط به تابع خود همبستگی (acf) سری‌های زمانی بارش سالانه دو ایستگاه طبس و نهبندان در مرکز و جنوب شرق ایران

در صد قرار دارند که حاکی از ایستایی سری‌های زمانی بارش سالانه این ایستگاهها می‌باشد (شکل ۵). اما در دو ایستگاه زاهدان و ایرانشهر شرایط به گونه‌ای متفاوت تر از دیگر ایستگاهها می‌باشد. همانگونه که در شکل ۴-۴ قبل مشاهده است اولین مقدار تابع خود همبستگی جزئی (pacf) که نشان دهنده وجود همبستگی جزئی با یک تاخیر زمانی است از محدوده معناداری ۵ درصد خارج شده است. اما چونکه بعد از این تاخیر، تاخیرهای دیگر به صورت نمایی تنزل یافته و به داخل محدود معناداری ۵ درصد نزول پیدا کرده اند، داده‌های بارش سالانه این دو ایستگاه را نیز می‌توان یک سری زمانی ایستا در نظر گرفت (شکل ۵).

اما علاوه بر نمودارهای مربوط به تابع خود همبستگی (acf)، نمودارهای مربوط به تابع خود همبستگی جزئی (pacf) نیز برای تمامی ایستگاه‌های مورد مطالعه در مرکز و جنوب شرق ایران رسم شدند. تابع خود همبستگی جزئی در واقع همبستگی بین x_t و x_{t+1} بعد از حذف اثر متغیرهای $x_{t+1}, x_{t+2}, \dots, x_{t+k-1}$ را نشان می‌دهد. با توجه به نمودارهای مربوط به دو ایستگاه زاهدان و ایرانشهر آورده شده اند) مشاهده شد که به استثنای دو ایستگاه زاهدان و ایرانشهر، مقادیر تابع خود همبستگی جزئی داخل محدود معناداری ۵



شکل ۵: نمودارهای مربوط به تابع خود همبستگی جزئی (pacf) سری‌های زمانی بارش سالانه دو ایستگاه ایرانشهر و زاهدان در مرکز و جنوب شرق ایران

ایران: با توجه به نمودارهای pacf و acf رسم شده برای ایستگاه‌های مورد مطالعه، مدل‌های مختلفی از

برآش بهترین مدل سری زمانی بر داده‌های بارش سالانه ایستگاه‌های مرکز و جنوب شرق

آکائیک (AIC) نیز جهت انتخاب بهترین مدل برای هر ایستگاه استفاده شد. در جدول ۱ بهترین مدل‌های منتخب هر ایستگاه آورده شده‌اند.

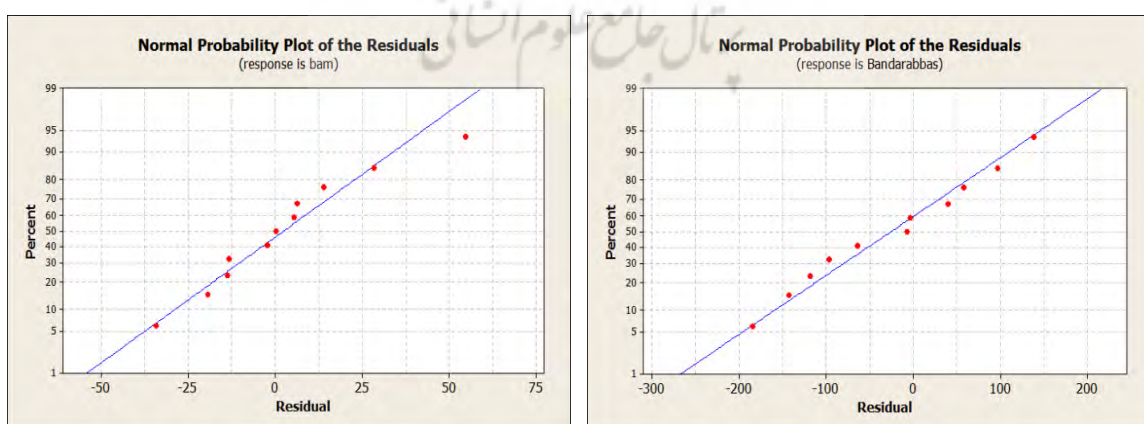
خانواده میانگین متحرک خودهمبسته یکپارچه (ARIMA) انتخاب و بر سری‌های زمانی بارش ایستگاه‌های مورد مطالعه برآش داده شدند. از معیار

جدول ۱: بهترین مدل‌های منتخب از خانواده ARIMA برای استگاه‌های مورد مطالعه در مرکز و جنوب شرق ایران

نام ایستگاه	آبرانشه	ق	بندر علی	بندر لنجه	بندر جند	اسک	پهوار	زابل	زاهدان	سراوان	سبزوار	گردفس	پ	کوهن	نهنگان	بنزد
بهترین مدل	ARMA(2.1)	ARIMA(1.1.1)	ARMA(2.1)													

ایستگاه‌های تفکیک رسم شدند. با توجه به تعداد زیاد نمودارها و تقریباً شباهت زیاد آنها به یکدیگر، نمودارهای مربوط به دو ایستگاه بم و بندرعباس به عنوان نماینده دیگر ایستگاه‌ها در شکل ۶ آورده شده‌اند. همانگونه که در شکل ۶ قابل مشاهده است باقیمانده‌های حاصل از برآش مدل‌های منتخب بر سری‌های زمانی بارش سالانه چهار ایستگاه مورد مطالعه تقریباً در امتداد یک خط راست قرار دارند که نشان دهنده توزیع نرمال آنها می‌باشد. بنابراین با توجه به این شرایط فرض نرمال بودن باقیمانده‌ها برای تمامی ایستگاه‌های مورد نظر می‌تواند مورد پذیرش قرار گیرد.

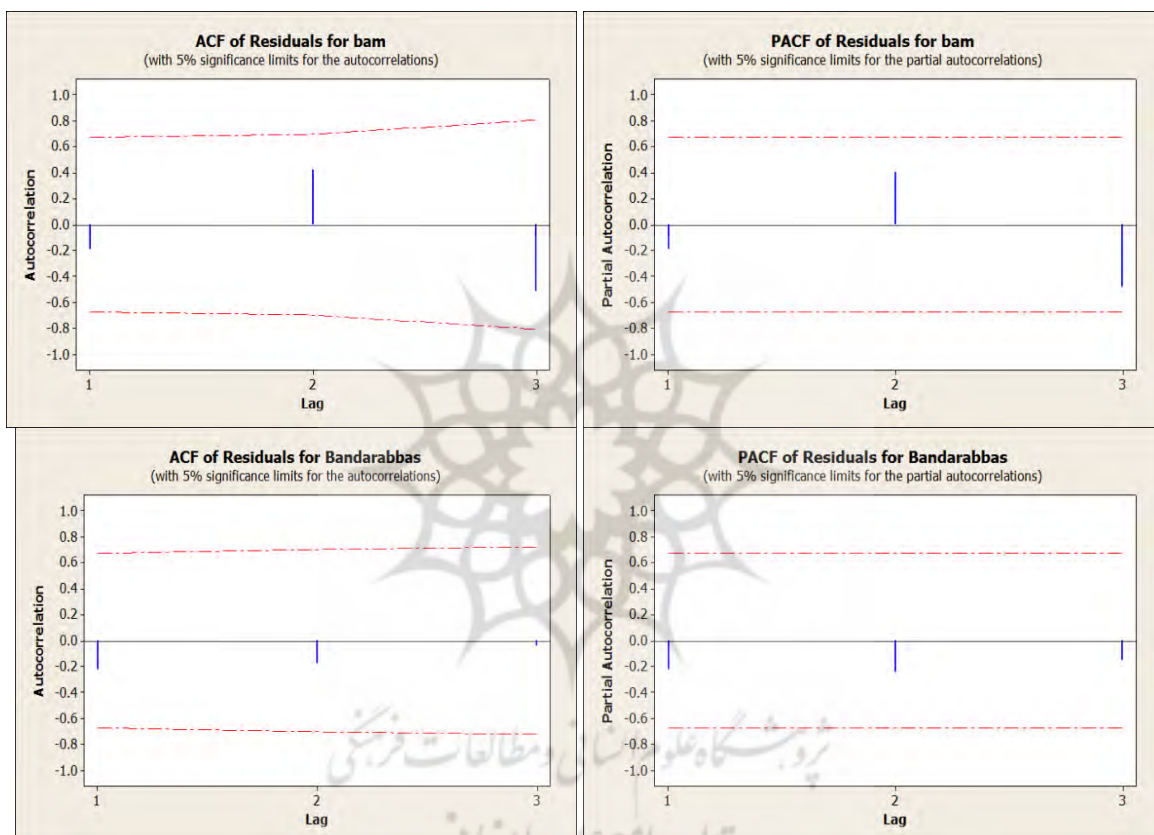
چپس از تشخیص مدل مناسب برای هر ایستگاه و برآوردهای پارامتری آنها، سوالی که باقی می‌ماند و بایستی در اینجا بدان جواب داده شود این است که آیا مدل منتخب برای هر ایستگاه رسا است یا خیر؟ لذا جهت جواب به این سوال، باقیمانده مدل‌های منتخب برای هر ایستگاه بایستی مورد تجزیه و تحلیل قرار گیرند. بررسی فرض نرمال بودن باقیمانده‌ها اولین معیار در تشخیص مناسب بودن مدل‌های منتخب برای هر ایستگاه می‌باشد. در این فرض اگر مدل منتخب درست تشخیص داده شده باشد بایستی خط‌ها دارای توزیع نرمال، مستقل و هم‌توزیع باشند. بنابراین نمودار احتمال نرمال باقیمانده‌های مدل‌های برآش داده شده بر سری‌های زمانی بارش سالانه



شکل ۶: نمودارهای احتمال نرمال باقیمانده‌های مدل‌های برآش داده شده بر سری‌های زمانی بارش سالانه دو ایستگاه بم و بندرعباس در مرکز و جنوب شرق ایران

از خود همبستگی‌های این ایستگاه‌ها از حدود استانداردشان تجاوز نکرده‌اند که دال بر معنادار نبودن خودهمبستگی‌های آنهاست. همین شرایط برای دیگر ایستگاه‌ها نیز حاکم بوده است. لذا می‌توان استقلال باقیمانده‌ها برای این سه ایستگاه و بقیه ایستگاه‌هایی که نمودارهای آنها در اینجا آورده شده اند پذیرفت.

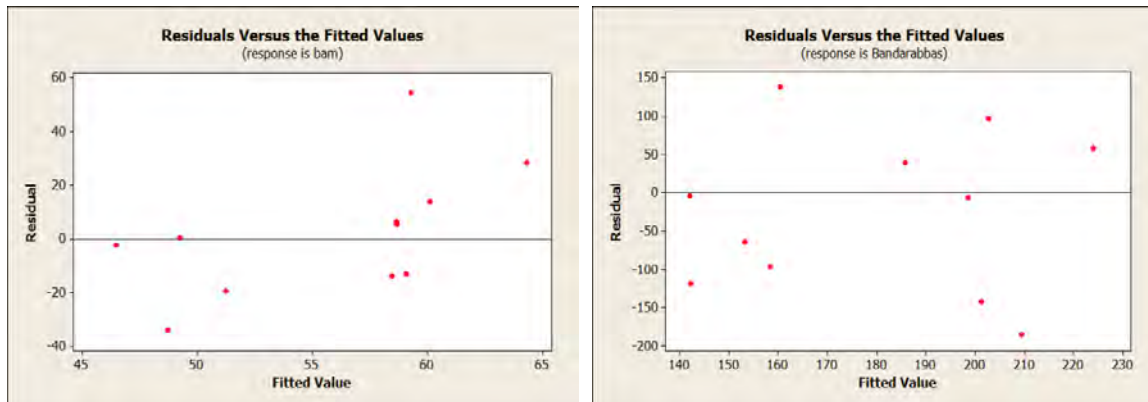
دومین فرض تشخیص مناسب بودن مدل‌های منتخب برای ایستگاه‌های مورد مطالعه نیز فرض استقلال باقیمانده‌ها است. برای آزمون این فرض می‌توان از acf و pacf باقیمانده‌ها کمک گرفت. لذا acf و pacf باقیمانده‌ها برای تمامی ایستگاه‌های مورد مطالعه رسم و برای نمونه acf و pacf های مربوط به دو ایستگاه bم و بندر عباس در شکل ۷ آورده شده‌اند. همانگونه که در شکل ۷ قابل مشاهده است هیچ یک



شکل ۷: نمودارهای مربوط به acf و pacf باقیمانده سری‌های زمانی بارش سالانه دو ایستگاه bم و بندر عباس در مرکز و جنوب شرق ایران

نمودارهای مربوط به دو ایستگاه bم و بندر عباس در شکل ۸ آورده شده‌اند. با توجه به نمودارهای این دو ایستگاه در شکل ۸ مشاهده می‌شود که نمودارها فاقد ساختار مشخصی هستند. لذا به روشنی می‌توان فرض ثابت بودن واریانس باقیمانده‌ها را برای تمامی ایستگاه‌های مورد مطالعه پذیرفت.

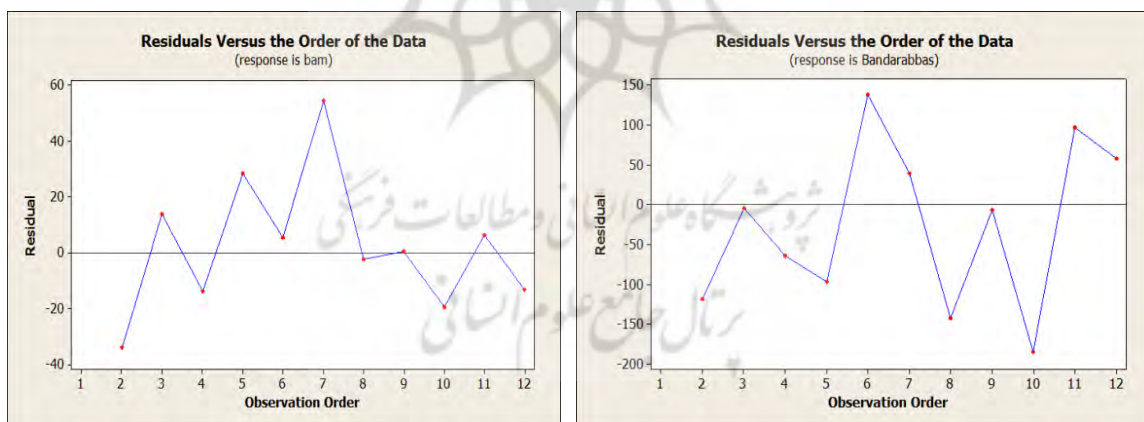
فرض ثابت بودن واریانس باقیمانده‌ها نیز سومین فرضی است که باستی برای مدل‌های منتخب هر ایستگاه مورد بررسی قرار گیرد. برای آزمون این فرض باستی نمودار باقیمانده‌ها در مقابل مقادیر برآش داده شده رسم شوند. بنابراین این نمودار برای تمامی ۱۶ ایستگاه مورد مطالعه ترسیم شدند که برای نمونه



شکل ۸: نمودار باقیماندها در مقابل مقادیر برآورد شده دو ایستگاه بم و بندرعباس در مرکز و جنوب شرق ایران

بم و بندرعباس به عنوان نمونه در شکل ۹ آورده شده‌اند. در نمودارهای رسم شده برای ایستگاه‌های مورد مطالعه به وضوح مشاهده شد که مقادیر باقیماندها تقریباً حول وحش سطح افقی صفر نوسان داشته‌اند که این مؤید تصادفی بودن مقادیر باقیماندها می‌باشد. بنابراین می‌توان صحت مدل‌های برآورد شده بر سری‌های زمانی بارش سالانه ایستگاه‌های مورد مطالعه را تایید نمود.

در نهایت با رسم نمودار باقیماندها در برابر زمان، آخرین آزمون مناسب بودن مدل‌های منتخب مورد بررسی قرار گرفتند. بر اساس این آزمون اگر مدل منتخب درست انتخاب شده باشد انتظار می‌رود این نمودار در اطراف سطح افقی صفر، پراکندگی مستطیل شکل و فاقد روندی را نشان دهد. لذا با توجه به این توضیحات، این نمودار برای تمامی ۱۶ ایستگاه مورد مطالعه رسم شدند. با توجه به تعداد زیاد نمودارها و شباهت نسبی آنها به یکدیگر، نمودارهای دو ایستگاه



شکل ۹: نمودار باقیماندها در طول زمان برای دو ایستگاه بم و بندرعباس در مرکز و جنوب شرق ایران

شد. همانطور که پیشتر بدان اشاره شده بود ۱۵ درصد از سری زمانی بارش سالانه ایستگاه‌های مورد مطالعه در همان ابتدای مدل‌سازی برای اعتبارسنجی و آزمون دقیقت مدل‌ها جدا شدند. در مرحله اعتبارسنجی، معیارهای مختلف اعتبارسنجی نتایجی مختلفی از دقیقت مدل‌ها در اختیار قرار می‌دهند. با مبنای قرار دادن

اعتبارسنجی مدل سری‌های زمانی منتخب برای ایستگاه‌های مورد مطالعه در مرکز و جنوب شرق ایران: برای اندازه‌گیری دقیقت مدل‌های برآورد شده بر سری‌های زمانی بارش سالانه ایستگاه‌های مورد مطالعه در مرکز و جنوب شرق ایران از چهار معیار اعتبارسنجی و MAE، RMSE، MAD استفاده

(جدول ۴-۴)، بندر لنگه (۱۵۶/۶۴۰) و ایرانشهر (۱۷۴/۳۲۶) نیز بیشترین خطاهای را دارا بوده اند

معیار دقت RMSE مشاهده می‌شود که ایستگاه‌های بزم (۳۲/۳۵۷)، زابل (۶/۲۰۶)، یزد (۳۶/۷۰۴) و زاهدان (۳۷/۸۷۸) به ترتیب کمترین خطاهای ایستگاه‌های فردوس (۲۱۱/۸۸۳)، بندرعباس

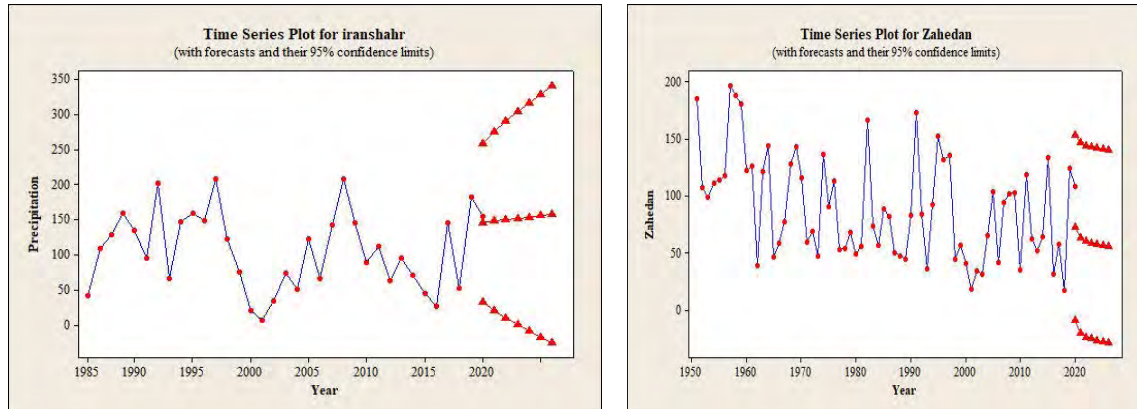
جدول ۲: نتایج معیارهای مختلف دقت در مرحله اعتبارسنجی مدل‌های منتخب برای پیش‌بینی بارش‌های سالانه مرکز و جنوب شرق ایران

ایستگاه	MAD	MSE	RMSE	MAE
ایرانشهر	۱۴۹/۸۰۴	۲۴۰۹۴/۷۲۳	۱۵۵/۲۲۵	۱۴۹/۸۰
بزم	۲۸/۱۱۹	۱۰۴۶/۹۴۹	۳۲/۳۵۷	۱۷/۴۶
بندرعباس	۱۴۶/۶۰۵	۳۰۳۸۹/۶۰۱	۱۷۴/۳۲۶	۱۴۶/۵۵
بندرلنگه	۱۴۴/۷۶۶	۲۴۵۳۶/۱۶۳	۱۵۶/۶۴۰	۱۴۴/۷۷
بیرجند	۱۳۴/۰۵۸	۱۹۵۹۸/۰۰۸	۱۳۹/۹۹۳	۱۳۴/۰۶
جاسک	۸۶/۵۸۴	۱۱۹۰۲/۱۳۰	۱۰۹/۰۹۷	۸۶/۱۶
چابهار	۱۳۳/۰۹۰	۲۰۱۹۰/۸۶۴	۱۴۲/۰۹۵	۱۳۳/۰۹
زابل	۲۴/۶۳۹	۱۱۰۲/۶۶۰	۳۳/۲۰۶	۲۴/۵۹
زاهدان	۳۲/۹۷۰	۱۴۳۴/۷۲۸	۳۷/۸۷۸	-۱۰/۵۷
سرآوان	۹۶/۹۰۳	۱۰۲۵۳/۹۷۳	۱۰۱/۲۶۲	۹۶/۹۰
سیروjan	۶۰/۷۴۰	۶۱۱۴/۷۰۸	۷۸/۱۹۷	۶۰/۷۴
فردوس	۲۰۸/۰۴۷	۴۴۸۹۴/۲۳۳	۲۱۱/۸۸۳	۲۰۸/۰۵
طبس	۵۴/۱۷۹	۳۷۵۶/۶۰۱	۶۱/۲۹۱	۵۴/۱۸
کرمان	۱۱۲/۶۰۶	۱۴۵۳۰/۹۶۸	۱۲۰/۵۴۴	۱۱۲/۶۱
نهیندان	۹۱/۶۳۳	۱۱۴۵۲/۰۵۹	۱۰۷/۰۱۴	۹۱/۶۳
یزد	۳۱/۴۸۶	۱۳۴۷/۲۱۴	۳۶/۷۰۴	۳۱/۰۵

پیش‌بینی شده و خطوط بالایی و پایینی به ترتیب حد بالایی اطمینان ۹۵ درصد پیش‌بینی و حد پایینی فاصله اطمینان ۹۵ درصد پیش‌بینی را نشان می‌دهند.

روندهای مقادیر پیش‌بینی شده بارش‌های سالانه نشان می‌دهند که به استثنای دو ایستگاه فردوس و ایرانشهر که روند بارشی آنها افزایشی بوده است، بقیه ایستگاه دارای روند کاهشی بوده اند. در جدول ۳ مقادیر پیش‌بینی شده بارش‌های سالانه برای ۱۶ ایستگاه مورد مطالعه تا افق ۲۰۲۷ آورده شده است.

پیش‌بینی بارش‌های سالانه مرکز و جنوب شرق ایران: با پیمودن مراحل مختلف مدل‌سازی سری‌های زمانی و در نهایت انتخاب بهترین مدل ARIMA برای هر ایستگاه، اقدام به پیش‌بینی بارش‌های سالانه ایستگاه‌های واقع در مرکز و جنوب شرق ایران تا افق ۲۰۲۷ گردید. نمودارهای سری زمانی پیش‌بینی شده بارش‌های سالانه تمامی ۱۶ ایستگاه مورد مطالعه رسم و برای نمونه در شکل ۱۰ نمودارهای مربوط به دو ایستگاه ایرانشهر و زاهدان آورده شده اند. در این نمودارها خط وسط (مثلث‌های قرمز رنگ) مقادیر



شکل ۱۰: نمودار پیش‌بینی سری زمانی بارش سالانه دو ایستگاه ایرانشهر و زاهدان در مرکز و جنوب شرق ایران

جدول ۵: مقادیر پیش‌بینی شده بارش‌های سالانه ایستگاه‌های مرکز و جنوب شرق ایران تا افق ۲۰۲۷

ایستگاه	۲۰۲۱	۲۰۲۲	۲۰۲۳	۲۰۲۴	۲۰۲۵	۲۰۲۶	۲۰۲۷
ایرانشهر	۱۴۶	۱۴۷/۹	۱۴۹/۸	۱۵۱/۷	۱۵۳/۶	۱۵۵/۵	۱۵۷/۵
به	۵۱/۳	۵۱/۱	۵۰/۸	۵۰/۵	۵۰/۳	۵۰	۴۹/۷
بندرعباس	۱۶۰/۳	۱۵۹/۸	۱۵۹/۳	۱۵۸/۸	۱۵۸/۳	۱۵۷/۷	۱۵۷/۳
بندرلنگه	۱۱۲/۵	۱۱۱/۸	۱۱۱/۲	۱۱۰/۵	۱۰۹/۹	۱۰۹/۳	۱۰۸/۶
بیرجند	۱۲۴	۱۲۲/۱	۱۲۰/۱	۱۱۸/۲	۱۱۶/۳	۱۱۴/۴	۱۱۲/۵
جاسک	۷۵/۳	۷۲/۷	۷۰/۱	۶۷/۵	۶۵	۶۲/۴	۵۹/۸
چابهار	۱۱۱/۸	۱۱۱/۲	۱۱۰/۶	۱۱۰	۱۰۹/۴	۱۰۸/۸	۱۰۸/۲
زابل	۳۶/۵	۳۵/۶	۳۴/۷	۳۲/۷	۳۲/۸	۳۱/۹	۳۰/۹
زاهدان	۷۲/۱	۶۲/۹	۶۰	۵۸/۷	۵۷/۷	۵۶/۸	۵۵/۹
سراوان	۹۶/۹	۹۶/۴	۹۵/۹	۹۵/۴	۹۴/۹	۹۴/۴	۹۳/۹
سیستان	۱۴۱/۵	۱۴۱/۴	۱۴۱/۴	۱۴۱/۳	۱۴۱/۳	۱۴۱/۲	۱۴۱/۲
فردوس	۲۰۵/۳	۲۰۵/۸	۲۰۶/۳	۲۰۶/۸	۲۰۷/۳	۲۰۷/۸	۲۰۸/۳
طبس	۶۹/۵	۶۸/۸	۶۸	۶۷/۲	۶۶/۵	۶۵/۷	۶۴/۹
کرمان	۱۱۶/۴	۱۱۵/۶	۱۱۴/۸	۱۱۴	۱۱۳/۲	۱۱۲/۴	۱۱۱/۶
نهیندان	۱۰۱/۳	۱۰۰/۵	۹۹/۶	۹۸/۸	۹۸	۹۷/۱	۹۶/۳
یزد	۴۶	۴۵/۵	۴۵	۴۴/۵	۴۴/۱	۴۳/۶	۴۳/۱

سید نژاد گل خطمنی و همکاران (۱۴۰۱) حاکی از قابلیت مناسب این مدل‌ها در پیش‌بینی بارش دارند. مهمترین دلیلی که باعث شده است قابلیت این مدل‌ها در پیش‌بینی بارش‌ها متفاوت باشند به مقیاس زمانی و طول دوره آماری بارش‌ها باز می‌گردد. در مطالعاتی که از مقیاس زمانی ماهانه و با طول دوره آماری بلندمدت تر استفاده کرده اند پیش‌بینی‌ها مناسب تر و مطالعاتی که در مقیاس زمانی سالانه و با طول دوره آماری کوتاه تر بهره برده اند پیش‌بینی‌ها نامناسب بوده است. لذا مشخص می‌شود که این مدل‌ها به شدت به طول دوره آماری کوتاه مدت حساس هستند

با توجه به نتایج معیارهای اعتبارسنجی پیش‌بینی بارش‌های سالانه ایستگاه‌های واقع در جنوب شرق ایران مشاهده شد که پیش‌بینی‌های انجام شده از دقت‌های بالایی بر خوردار نیستند. جهانبخش و ترابی (۱۳۸۳) در پیش‌بینی دماهای حداقل ماهانه، دماهای حداقل ماهانه و مجموع بارش ماهانه پنج ایستگاه منتخب بابلسر، قزوین، اصفهان، زابل و بندرلنگه با استفاده از مدل‌های سری‌های زمانی تصادفی به عملکرد ضعیف این مدل‌ها در پیش‌بینی اشاره داشته اند. اما در نقطه مقابل این مطالعات، گزارش‌های مربوط به سلطانی گرد فرامرزی و همکاران (۱۳۹۶) و

- بارش‌های سالانه ایستگاه‌های واقع در استان هرمزگان، جنوب استان سیستان و بلوچستان و جنوب استان کرمان نشان از پتانسیل بالای وقوع خشکسالی‌ها و ترسالی‌های شدید دارند.
- آزمون ایستایی میانگین و واریانس سری‌های زمانی بارش سالانه ایستگاه‌های واقع در مرکز و جنوب شرق ایران حاکی از ایستایی میانگین در تمامی و عدم ایستایی واریانس در بیشتر سری‌های زمانی بارش‌های سالانه ایستگاه‌های مورد مطالعه دارند. ایستایی در میانگین نشان می‌دهد که میانگین سری‌های زمانی بارش‌های ایستگاه‌های مورد مطالعه در بستر زمانی مورد مطالعه تغییر پیدا نکرده‌اند. اما عدم ایستایی در واریانس آنها شاهدی بر افزایش بی‌نظمی در رفتار بارش‌های سالانه ایستگاه‌های مورد مطالعه در این منطقه دارد که می‌تواند به صورت افزایش در فراوانی خشکسالی‌ها و سیلاب‌ها خود را نشان دهد.
 - بهترین مدل برآذش داده شده از خانواده میانگین متحرك خودهمبسته یکپارچه (ARIMA) بر سری‌های زمانی بارش سالانه ایستگاه‌های مورد مطالعه جهت پیش‌بینی بارش‌های سالانه مرکز و جنوب شرق ایران (1, 2) ARMA تشخیص داده شد.
 - بر اساس بهترین مدل‌های برآذش داده شده بر سری‌های زمانی بارش‌های سالانه ایستگاه‌های مورد مطالعه مشاهده شد که روند مقادیر پیش‌بینی شده بارش‌های سالانه تا افق ۲۰۲۷ میلیارد استثنای دو ایستگاه فردوس و ایرانشهر که روند بارشی آنها افزایشی بوده است، بقیه ایستگاه دارای روند کاهشی بوده‌اند.
 - برای اندازه‌گیری دقیق مدل‌های برآذش داده شده از چهار معیار اعتبارسنجی RMSE، MSE، MAD و MAE استفاده شد. نتایج این چهار معیار نشان دادند که پیش‌بینی‌های انجام شده دارای خطاهای بسیار زیاد و در نتیجه از دقیق پایینی برخوردار هستند. لذا با توجه به این نتایج می‌توان فرضیه این پژوهش را که "مدل‌های سری زمانی

و بایستی از داده‌های طولانی مدت برای این نوع از مدل‌سازی‌ها بهره برد.

نتیجه گیری

هدف اصلی تعریف شده برای این پژوهش بررسی تغییرپذیری اقلیمی و پیش‌بینی بارش‌های سالانه مرکز و جنوب شرق ایران با استفاده از مدل سری‌های زمانی تصادفی بود. لذا جهت رسیدن به این هدف، داده‌های بارش سالانه ۱۵ ایستگاه همدید با طول دوره‌های آماری مختلف از سازمان هواشناسی ایران دریافت شدند. بعد از اخذ داده‌ها و تشکیل بانک اطلاعاتی آنها، در گام اول، برخی آمارهای توصیفی نظیر میانگین، ضریب تغییرات و ضریب چولگی سری‌های زمانی بارش سالانه ایستگاه‌ها محاسبه و در گام دوم نیز از مدل سری‌های زمانی تصادفی جهت پیش‌بینی بارش‌های سالانه آنها استفاده شدند. نتایج به دست آمده از دو گام پیموده شده در این پژوهش به صورت خلاصه در زیر آورده شده‌اند:

- میانگین بارش سالانه مرکز و جنوب شرق ایران نزدیک به ۱۰۹ میلی‌متر است که توزیع فضایی آن در نقاط مختلف آن بسیار متفاوت است، به‌طوریکه میانگین بارش سالانه در ایستگاه بندرعباس به ۵۲/۶ میلی‌متر و در ایستگاه زابل به ۱۷۱/۱ میلی‌متر می‌رسد
- ضریب تغییرپذیری و ضریب چولگی بارش‌های سالانه مرکز و جنوب شرق ایران نشان دادند که ایستگاه‌های واقع در استان هرمزگان، جنوب استان سیستان و بلوچستان و جنوب استان کرمان دارای بیشترین و ایستگاه‌های ایستگاهی واقع در استان خراسان جنوبی، استان یزد، شمال استان سیستان و بلوچستان و شمال استان کرمان دارای کمترین مقادیر ضریب تغییرپذیری بوده‌اند. همچنین ضریب چولگی به دست آمده برای اکثر سری‌های زمانی بارش‌های سالانه ایستگاه‌های مورد مطالعه در مرکز و جنوب شرق ایران به استثنای ایستگاه سیرجان حاکی از چولگی مثبت آنها بوده است. در نتیجه ضریب تغییرپذیری بالا و چولگی مثبت

تحقیق را کامل‌تر کند عبارتند از: ۱) با توجه به اینکه طول دوره آماری کوتاه مدت بارش‌های سالانه مرکز و جنوب شرق ایران مهمترین منبع ایجاد خطاهای بسیار زیاد در پیش‌بینی‌های بارش سالانه این قسمت از ایران شناخته شد، لذا پیشنهاد می‌گردد از پایگاه داده‌های مختلف بارشی شبکه بنده شده که دارای طول دوره‌های آماری طولانی تری دارند استفاده شود. ۲) پیشنهاد می‌شود در یک مطالعه تطبیقی دیگر مدل‌های پیش‌بینی تک متغیره همچون بروون یا بی منحنی روند، هموار کردن نمایی و روش هولت-وینترز مورد توجه قرار گیرند.

تصادفی، بارش‌های سالانه مرکز و جنوب شرق ایران را به خوبی پیش‌بینی می‌کنند" را رد نمود. اما مهمترین دلیل در ایجاد خطاهای بسیار زیاد در پیش‌بینی بارش‌های سالانه مرکز و جنوب شرق ایران می‌توان مطرح نمود طول دوره آماری کوتاه بسیاری از ایستگاه‌های مرکز و جنوب شرق ایران است.

- در نهایت با توجه به نتایجی که از مدل‌سازی تصادفی سری‌های زمانی بارش‌های سالانه ایران بدست آمد مشاهده شد که هنوز برخی سوالات و ابهامات وجود دارد که نیاز به تحقیق بیشتری دارد. برخی از عنوانین پیشنهادی برای تحقیقات آینده که می‌توانند نتایج به دست آمده از این

منابع

۱. امیدوار، ک. و نبوی‌زاده، م.، ۱۳۹۳، پیش‌بینی بارش روزانه استان کرمان با شبکه‌های عصبی مصنوعی (مطالعه موردنی: کرمان، بافت و میانده جیرفت)، م. جغرافیا و توسعه ناحیه‌ای، ۲۳، ۲۱۴-۱۹۷.
۲. جهانبخش، س. و ترابی، س.، ۱۳۸۳. بررسی و پیش‌بینی تغییرات دما و بارش در ایران، ف. تحقیقات جغرافیایی، ۱۹(۳)، ۲۲-۱۹.
۳. رخ‌شاد، ا.م.، بختیاری، ب. و قادری، ک.، ۱۳۹۳. ارزیابی عملکرد الگوریتم رقابت استعماری (ICA) در برآورد بارش روزانه، م. سامانه‌های سطوح آبگیر ایران، ۵، ۴۰-۳۳.
۴. رخ‌شاد، ا.م.، بختیاری، ب. و قادری، ک.، ۱۳۹۵. مقایسه عملکرد الگوریتم ICA و حالت ترکیب شده آن با فازی (FUZZY-ICA) در پیش‌بینی بارش روزانه، م. ژئوفیزیک ایران، ۲۹، ۱۴-۱.
۵. سلطانی گرد فرامرزی، س.، صابری، ع. و قیصمری، م.، ۱۳۹۶. تعیین بهترین مدل سری زمانی در پیش‌بینی بارندگی سالانه ایستگاه‌های منتخب استان آذربایجان غربی، م. تحقیقات کاربردی علوم جغرافیایی، ۴۴(۱۷)، ۱۰۵-۸۷.
۶. سید نژاد گل خطمی، ن.، عباسی، ن. و رضایی پشنده، ح.، ۱۴۰۱. پیش‌بینی سری زمانی بارش سالانه ۱۲۵ ساله مشهد، م. پژوهش‌های اقلیم شناسی ۱۳(۵۰)، ۹۴-۸۳.
۷. شرفی، م.، صمدیان فرد، س. و هاشمی، س.، ۱۳۹۹. پیش‌بینی بارش ماهانه با استفاده از مدل‌های برنامه‌ریزی
۸. علیزاده، ا.، ۱۳۹۰، اصول هیدرولوژی کاربردی (چاپ سی و دوم): مشهد، انتشارات دانشگاه امام رضا.
۹. فلاخ قاله‌ری، غ. و شاکری، ف.، ۱۳۹۴، کاربرد شبکه‌های عصبی مصنوعی در پیش‌بینی بارش زمستانه، م. علوم و مهندسی آبخیزداری ایران، ۳۱، ۱۱۰-۹۹.
۱۰. فلاخ قاله‌ری، غ.، موسوی بایگی، س.، و حبیبی نوخدناد، م.، ۱۳۸۸. پیش‌بینی بارش فصلی بر اساس الگوهای سینوپتیکی سطوح فوقانی جویا استفاده از مدل‌های آماری، م. دانش آب و خاک، ۱، ۱۴۳-۱۲۵.
۱۱. مجرد، ف.، زاهدی، غ. و الفت میری، ح. ر.، ۱۳۹۳، پیش‌بینی بارش‌های سالانه در ایستگاه‌های سینوپتیک کرمانشاه و نوژه همدان با استفاده از شبکه عصبی مصنوعی، م. جغرافیا و پایداری محیط، ۱۰، ۲۷-۱۳.
۱۲. مدرسی، ف.، ۱۴۰۰، توسعه یک مدل جدید ترکیبی احتمالاتی کلاس مبنا برای پیش‌بینی بارش ماهانه، م. تحقیقات منابع آب ایران، ۵۷، ۲۴۸-۲۳۵.
۱۳. یخشی، م.، ثقیقان، ب.، صدقی، ح.، فهمی، م. و موسوی جهرمی، ح.، ۱۳۸۷، پیش‌بینی کوتاه مدت بارندگی: روشنی برای بهبود هشدار سیل‌های ناگهانی (مطالعه موردنی- حوضه سد گلستان ۱ در استان گلستان)، م. علوم کشاورزی و منابع طبیعی، ۶۷، ۶۷-۱۳۸، ۱۲۵.
۱۴. Abbot J., Marohasy J., 2017, Application of artificial neural networks to forecasting

25. Hussein E., Ghaziasgar M., Thron C., 2020. Regional rainfall prediction using support vector machine classification of large-scale precipitation maps. In 2020 IEEE 23rd International Conference on Information Fusion (FUSION) (pp. 1–8).
26. Infanti JM., Kirtman BP., 2016. North American rainfall and temperature prediction response to the diversity of ENSO. *Climate Dynamics*, 46, 3007–3023.
27. Javari M., 2021. Modeling and forecasting of rainfall reoccurrence changes using Markov Switching in Iran. *SN Applied Sciences*, 3, 753.
28. Kisi O., Cimen M., 2012. Precipitation forecasting by using wavelet-support vector machine conjunction model: *Engineering Applications of Artificial Intelligence*, 25(4): 783-792.
29. Kottekoda N.T., Horder MA., 1980. Daily flow model rainfall occurrences using pulse and a transfer function: *Journal of Hydrology*, 47, 215-234.
30. Mehr AD., Nourani V., Khosrowshahi VK., Ghorbani MA., 2019. A hybrid support vector regression–firefly model for monthly rainfall forecasting: *International Journal of Environmental Science and Technology*, 16(1), 335–346.
31. Nasseri M., Asghari K., Abedini MJ., 2008. Optimized scenario for rainfall forecasting using genetic algorithm coupled with artificial neural network: *Expert Systems with Applications*, 35(3), 1415–1421.
32. Nourani V., Uzelaltinbulat S., Sadikoglu F., Behfar N., 2019. Artificial intelligence based ensemble modeling for multi-station prediction of precipitation: *Atmosphere*, 10(2):80.
33. Pan B., Hsu K., AghaKouchak A., Sorooshian S., 2019. Improving precipitation estimation using convolutional neural network: *Water Resources Research*, 55(3), 2301–2321.
34. Salas JD., Delleur J.W., Yevjevich V., Lane W.L. 1980. *Applied Modeling of Hydrologic Time Series*: Water Resources Publications, Littleton, CO.
35. Taheri Tizro A., Ghashghaei M., Georgiou P., Voudouris, K. 2014. Time series analysis of water quality parameters: monthly rainfall one year in advance for locations within the Murray Darling basin, Australia: *International Journal of Sustainable Development and Planning*, 12(8), 1282–1298.
15. Aguasca-Colomo R., Castellanos-Nieves D., Méndez M., 2019. Comparative analysis of rainfall prediction models using machine learning in islands with complex orography: Tenerife island: *Applied Sciences*, 9(22), 4931.
16. Anderson RL., 1942. Distribution of the serial correlation coefficients: *The Annals of Mathematical Statistics*, 13(1), 716-723.
17. Banadkooki FB., Ehteram M., Ahmed AN., Fai CM., Afan HA., Ridwam WM., Sefelnasr A., El-Shafie A., 2019. Precipitation forecasting using multilayer neural network and support vector machine optimization based on flow regime algorithm taking into account uncertainties of soft computing models: *Sustainability*, 11(23), 6681.
18. Bojar W., Knopik L., Żarski J., Kuśmierk-Tomaszewska R., Wojciech Żarski W. 2018. Markov chain as a tool for forecasting daily precipitation in the vicinity of the city of Bydgoszcz, Poland: *ITM Web of Conferences*, 23, 1-5.
19. Borland P., Montana A., 1996. Forecasting of storm rainfall by combined use of rider, rain gages and linear models: *Atmospheric research*, 42, 199-216.
20. Box GE., Jenkins GM., 1976. *Time series analysis (Forecasting and Control)*: San Francisco: Holden-Day.
21. Cochran W.G., & Cox G.M. 1957. *Experimental Designs*: New York, John Wiley & Sons, Inc.
22. Du J., Liu Y., Yu Y., Yan W. 2017/ A Prediction of Precipitation Data Based on Support Vector Machine and Particle Swarm Optimization (PSO-SVM) Algorithms: *Algorithms*, 10(2), 2-15.
23. Durbin J. 1960. The fitting of time series model: Review of the International Statistical Institute, 28, p2333.
24. Gholami Rostam M., Sadatinejad SJ., Malekian A., 2020. Precipitation forecasting by large-scale climate indices and machine learning techniques. *Journal of Arid Land*, 12, 854–864.

41. Weesakul U., Kaewprapha P., Boonyuen K., Mark O., 2018, Deep learning neural network: A machine learning approach for monthly rainfall forecast, case study in eastern region of Thailand: Engineering and Applied Science Research, 45(3), 203–211.
42. Yin G., Yoshikane T., Yamamoto K., Kubota T., Yoshimura K., 2022, A support vector machine-based method for improving real-time hourly precipitation forecast in Japan: Journal of Hydrology, 612, 1-13.
43. Zhang P., Jia Y., Gao J., Song W., Leung HKN., 2018, Short-term rainfall forecasting using multi-layer perceptron: IEEE Transactions on Big Data, 6, 93–106.
44. Zhao T., Chen H., Pan B., Ye L., Cai H., Zhang Y., Chen X., 2022, Correspondence relationship between ENSO teleconnection and anomaly correlation for GCM seasonal precipitation forecasts. Climate Dynamics, 58, 633–649.
- Journal of Applied Research in Water and Wastewater, 1, 40-50.
36. Tippett MK., Ranganathan M., L'Heureux M., Barnston AG., DelSole T., 2019, Assessing probabilistic predictions of ENSO phase and intensity from the North American Multimodel Ensemble: Climate Dynamics, 53, 7497–7518.
37. Thomas HA., Fiering MB., 1962, Mathematical Synthesis of Stream Flow Sequences for the Analysis of River Basin by Simulation: Harward University Press, Cambrige, 751pp.
38. Wang H., Asefa T., Sarkar, A., 2021, A novel non-homogeneous hidden Markov model for simulating and predicting monthly rainfall: Theoretical and Application Climatology, 143, 627–638.
39. Wang L., Ren HL., Zhu J., Huang B., 2020, Improving prediction of two ENSO types using a multi-model ensemble based on stepwise pattern projection model: Climate Dynamics, 54, 3229–3243.
40. Weesakul U., Lowanichchai S., 2015, Rainfall forecast for Agricultural Water Allocation Planning in Thailand: Science & Technology Asia, 10(3), 18–27.

پژوهشگاه علوم انسانی و مطالعات فرهنگی
پرستال جامع علوم انسانی



پژوهشگاه علوم انسانی و مطالعات فرهنگی
پرستال جامع علوم انسانی